

# Plan du chapitre « Systèmes rayonnants »

1. Champ électromagnétique du dipôle oscillant
2. Rayonnement dipolaire de l'électron atomique
  1. Généralités
  2. Diffusion du rayonnement électromagnétique
  3. Polarisation du rayonnement par diffusion
3. Rayonnement à grande distance d'une antenne

- On se base sur le modèle de l'électron élastiquement lié dans lequel l'e- oscille de manière harmonique autour de sa position moyenne à la pulsation  $\omega_0$
- On assimile l'e- à un dipôle oscillant de moment :

$$p(t) = -e \vec{r} \Rightarrow \langle p'^2 \rangle = e^2 \langle a^2 \rangle \longleftarrow \text{Accélération}$$

- La puissance moyenne rayonnée vaut :

$$\langle P \rangle = \frac{1}{4 \pi \epsilon_0} \frac{p_0^2 \omega_0^4}{3 c^3} = \frac{e^2}{4 \pi \epsilon_0} \frac{2 \langle a^2 \rangle}{3 c^3} \longleftarrow \text{Formule de Larmor}$$

- La puissance moyenne rayonnée est proportionnelle au carré de la charge et à la moyenne du carré de l'accélération

- L'énergie mécanique du dipôle est de la forme ( $m_e$  : masse de l'e-) :

$$E_{méca} = \frac{1}{2} m_e \omega_0^2 \frac{p_0^2}{e^2} \quad |p_0/e| : \text{extension maximale du dipôle}$$

- La puissance EM rayonnée par le dipôle vient de son énergie mécanique qui diminue au cours du temps. On peut alors écrire :

$$\langle P \rangle dt = - dE_{méca} \quad \text{avec} \quad dt \gg T$$

- On peut mettre  $\langle P \rangle$  sous la forme :

$$\langle P \rangle = \frac{E_{méca}}{\tau} \quad \text{avec} \quad \frac{1}{\tau} = \frac{2 r_e \omega_0^2}{3 c} \quad \text{où} \quad r_e = \frac{e^2}{4 \pi \epsilon_0 m_e c^2} = 2,8 \times 10^{-15} \text{ m}$$

Rayon classique de l'électron

- Si de plus  $dt \ll \tau$  :

$$-\frac{dE_{\text{méca}}}{E_{\text{méca}}} = \frac{dt}{\tau} \Rightarrow E_{\text{méca}}(t) = E_{\text{méca}}(0) \exp\left(-\frac{t}{\tau}\right) \quad \tau : \text{durée de vie de l'oscillateur}$$

- L'énergie mécanique décroît en fonction du temps
  - On dit parfois que le mouvement du dipôle subit un **amortissement de rayonnement de type visqueux**
- Un calcul d'ordre de grandeur montre que pour  $\lambda \approx 0.5 \mu\text{m}$ ,  $\omega_0 \approx 3 \times 10^{15} \text{ rad/s}$  et  $\tau \approx 10^{-8} \text{ s}$ 
  - On vérifie bien que  $\tau \gg T = 2\pi/\omega_0 \approx 10^{-15} \text{ s}$  dans le visible
  - L'oscillateur ne perd qu'une très faible partie de son énergie par période

- Le mouvement de l'oscillateur étant amorti, le rayonnement qui en résulte n'est pas monochromatique

- Il est caractérisé par un élargissement spectral  $\Delta\nu$  tel que :

$$\Delta\nu \times \tau \approx 1$$

- Cette largeur intrinsèque ne doit pas être confondue avec d'autres causes d'élargissement spectral : effet Doppler ou collisions

# Les approximations de la théorie du rayonnement dipolaire et le modèle de Bohr

- Dans le modèle de Bohr de l'atome d'hydrogène, un  $e^-$  (charge  $-e$  et masse  $m$ ) suit une trajectoire circulaire de rayon  $R$  autour du proton supposé immobile (charge  $+e$  et masse  $M \gg m$ )

- Force exercée par le noyau sur l' $e^-$  :  $\vec{f} = -\frac{e^{*2}}{r^2} \vec{u}_r$  avec  $e^{*2} = \frac{e^2}{4 \pi \epsilon_0}$

- La quantification du moment cinétique  $L_n = n \hbar$  entraîne celles du rayon  $R_n$  et de la vitesse  $v_n$  :

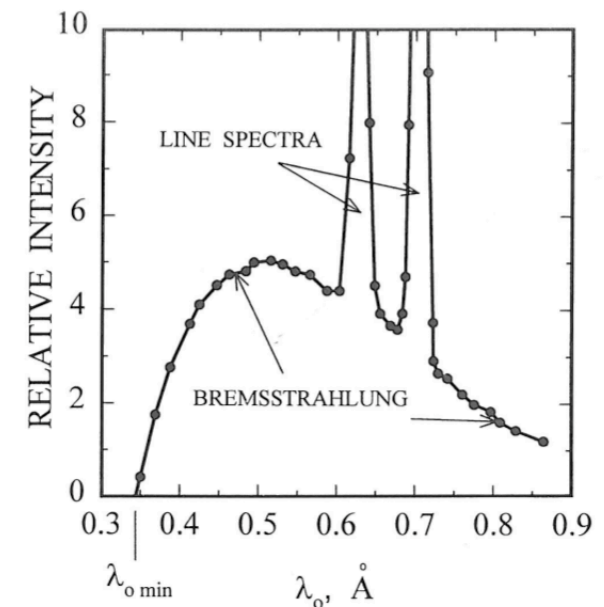
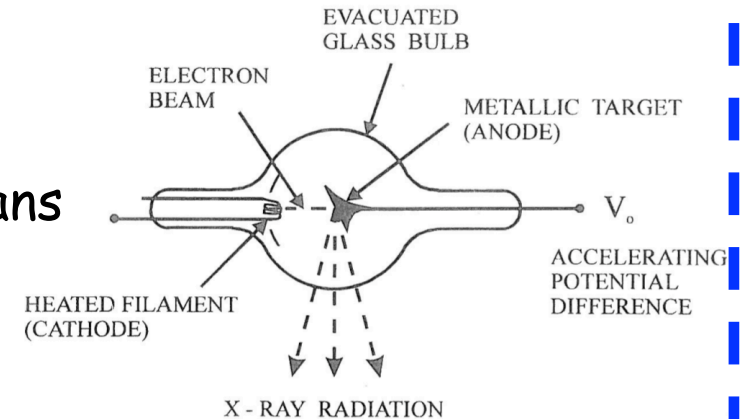
$$R_n = n^2 R_1 \quad \text{et} \quad v_n = \frac{v_1}{n} \quad \text{avec} \quad R_1 = \frac{\hbar^2}{m e^{*2}} \quad \text{et} \quad v_1 = \frac{e^{*2}}{\hbar}$$

- Pour  $n = 1$ , le rayon vaut  $R_1 = 0.53 \cdot 10^{-10} \text{ m}$  (**rayon de Bohr**) et  $v_1/c = 1/137$ . On vérifie donc les conditions d'utilisation de la théorie du rayonnement dipolaire :  $r \gg d$  et  $v \ll c$

# Rayonnement de freinage (Bremsstrahlung)

- C'est le rayonnement produit par la décélération d'une particule chargée : dans un **tube de Coolidge**, les  $e^-$  heurtent la cible métallique et produisent des RX sous 2 formes :

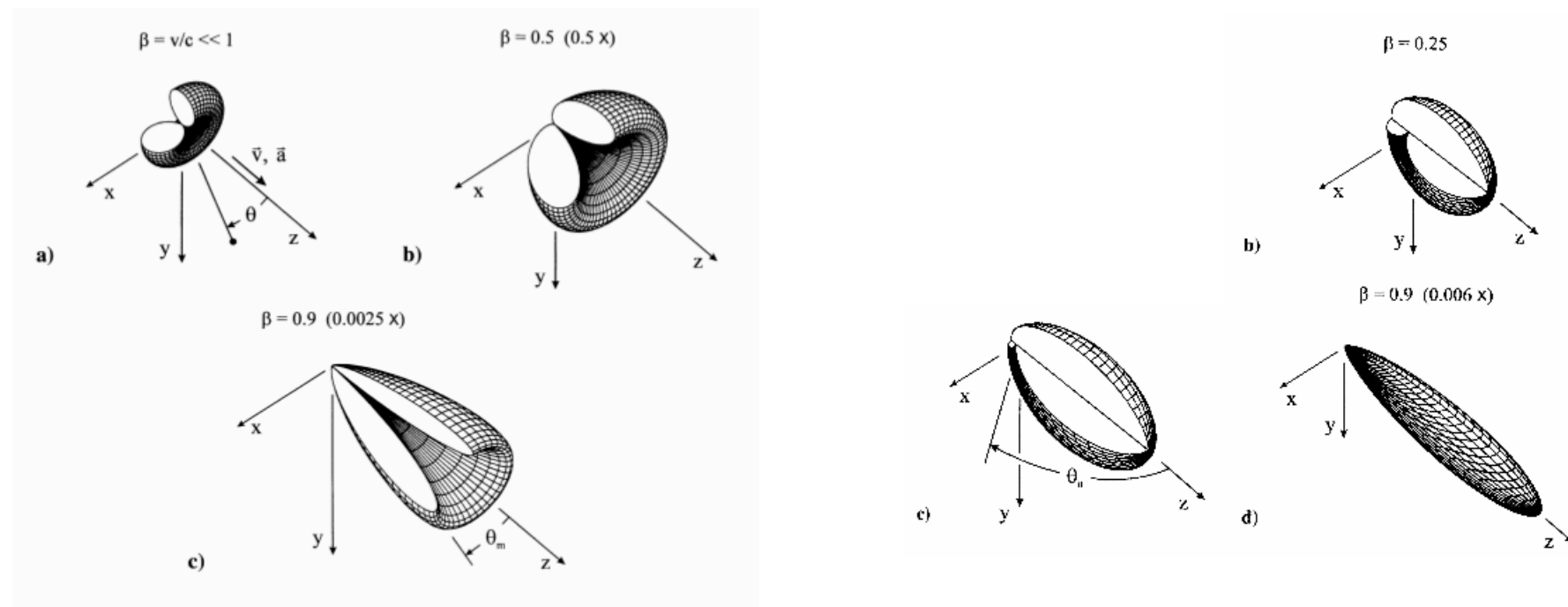
- Un spectre discret dont l'explication (quantique) est qu'un  $e^-$  incident éjecte un  $e^-$  interne d'un atome de la cible. Un  $e^-$  externe redescend peupler le niveau libéré en produisant le rayonnement EM
- Un spectre continu (**bremsstrahlung**) dû au freinage de l' $e^-$  incident dans la cible



# Rayonnement synchrotron

- Le rayonnement synchrotron est une application du rayonnement dû à l'accélération d'une particule chargée. Attention : il fait nécessairement intervenir la relativité !

Smith



Puissance rayonnée lors d'une  
accélération longitudinale

Puissance rayonnée lors d'une  
accélération transverse



# Plan du chapitre « Systèmes rayonnants »

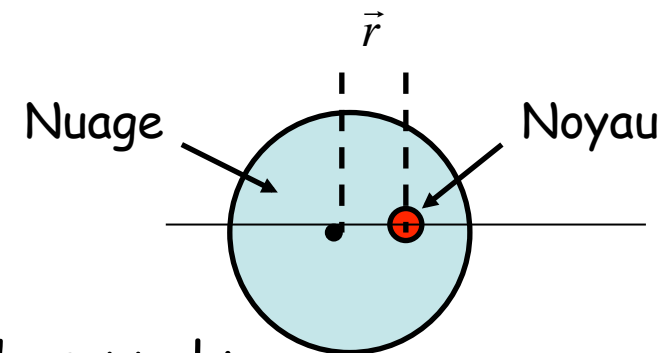
1. Champ électromagnétique du dipôle oscillant
2. Rayonnement dipolaire de l'électron atomique
  1. Généralités
  2. Diffusion du rayonnement électromagnétique
  3. Polarisation du rayonnement par diffusion
3. Rayonnement à grande distance d'une antenne

- La diffusion d'un rayonnement incident par un électron atomique constitue un exemple important de rayonnement dipolaire :
  - Le champ d'une onde EM (par exemple de la lumière) peut interagir avec un atome ou une molécule qui va absorber une partie de l'énergie du rayonnement incident
  - Les dipôles atomiques induits vont réémettre des ondes EM dans des directions différentes de la direction de l'onde incidente : il y a **diffusion**
- On va utiliser ici un modèle classique (phénoménologique) pour décrire l'interaction entre le champ d'une onde EM incidente et un atome

# Action du champ de l'onde incidente

- Comme les charges de l'atome sont non relativistes, on négligera l'influence du champ  $B$  de l'onde incidente (supposée plane) puisqu'il est de l'ordre de  $E/c$
- De même, on négligera le mouvement des ions et on ne considèrera que le mouvement des  $e^-$  induits par l'onde
- Dans la totalité des cas qu'on étudiera, la longueur d'onde incidente (de  $500\text{ }\mu\text{m}$  dans l'IR à  $0.5\text{ }\mu\text{m}$  dans le visible) est très supérieure à la dimension caractéristique d'un atome ( $0.1\text{ nm}$ )
  - Le champ de l'onde incidente sera supposé uniforme à l'échelle d'un atome

- Le champ  $E$  de l'onde est généralement (mais pas toujours)  $\ll$  au champ subit par l'électron atomique
  - A 0.1 nm, une charge  $\pm e$  crée le champ  $E = 10^{11}$  V/m
- On utilisera donc un modèle linéaire de perturbation au 1<sup>er</sup> ordre
- En l'absence d'onde EM, l'e- décrit une trajectoire contenue dans le volume du nuage électronique
- Si l'e- s'écarte de sa position d'équilibre, le barycentre des positions de l'électron n'est plus en coïncidence avec le noyau
  - L'électron est alors soumis à la force de rappel :



$$\vec{f}_{rap} = - m \omega_0^2 \vec{r}$$

- Le mouvement d'oscillation subit toujours un amortissement (en particulier par rayonnement) qu'on modélise par une force de frottement visqueux :
$$\vec{f}_v = -\alpha \frac{d\vec{r}}{dt} = -\frac{m}{\tau} \frac{d\vec{r}}{dt}$$

- On pourrait montrer que dans ce cas, le coefficient d'amortissement visqueux est de la forme :

$$\alpha = m \frac{\omega_0}{Q} \quad \text{soit} \quad \vec{f}_v = -m \frac{\omega_0}{Q} \frac{d\vec{r}}{dt}$$

où  $Q$  désigne le **facteur de qualité** de l'oscillateur

- L'équation qui régit le mouvement de l'e- est donc :

$$m \vec{r}'' = - e \vec{E}(t) - \alpha \vec{r}' - m \omega_0^2 \vec{r}$$

- En régime sinusoïdal établi et en projetant sur la direction du champ prise suivant Oz :

$$m z'' = - e E_m \exp(-i \omega t) - \alpha z' - m \omega_0^2 z$$

ou encore  $z'' + \frac{1}{\tau} z' + \omega_0^2 z = - \frac{e E_m}{m} \exp(-i \omega t)$  en posant  $\frac{1}{\tau} = \frac{\alpha}{m}$

- En régime établi, la solution s'écrit :

$$z(\omega) = \frac{- e E_m \exp(-i \omega t)}{m \left[ (\omega_0^2 - \omega^2) - i \frac{\omega}{\tau} \right]}$$

- On en déduit le moment dipolaire électrique :

$$\vec{p} = -e z(\omega) \vec{u}_z = p_0(\omega) \exp(-i \omega t) \vec{u}_z \quad \text{avec} \quad p_0(\omega) = \frac{e^2 E_m}{m \left[ (\omega_0^2 - \omega^2) - i \frac{\omega}{\tau} \right]}$$

- D'après ce qu'on a vu précédemment, un tel dipôle rayonne une puissance électromagnétique  $\langle P \rangle$  telle que :

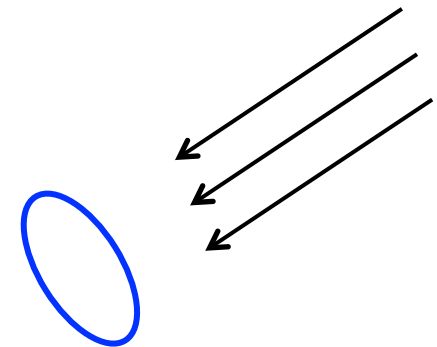
$$\langle P \rangle = \frac{p_0^2(\omega) \omega^4}{12 \pi \epsilon_0 c^3}$$

soit après calculs :

$$\langle P \rangle = \sigma(\omega) \frac{\epsilon_0 c E_m^2}{2} \quad \text{avec} \quad \sigma(\omega) = \frac{8 \pi r_e^2}{3} \frac{\omega^4}{(\omega_0^2 - \omega^2)^2 + \omega^2 / \tau^2}$$

$$\langle P \rangle = \sigma(\omega) \frac{\epsilon_0 c E_m^2}{2} \quad \text{avec} \quad \sigma(\omega) = \frac{8 \pi r_e^2}{3} \frac{\omega^4}{(\omega_0^2 - \omega^2)^2 + \omega^2 / \tau^2}$$

- La puissance rayonnée est le produit de 2 termes :
  - La **section efficace de diffusion du rayonnement**  $\sigma(\omega)$  - probabilité homogène à une surface
  - La puissance prise par unité de surface au champ EM incident  $\longrightarrow \frac{\epsilon_0 c E_m^2}{2}$
- Description physique de la section efficace : la puissance rayonnée est la puissance incidente qui traverse un cercle de surface  $\sigma$  placé perpendiculairement à l'onde

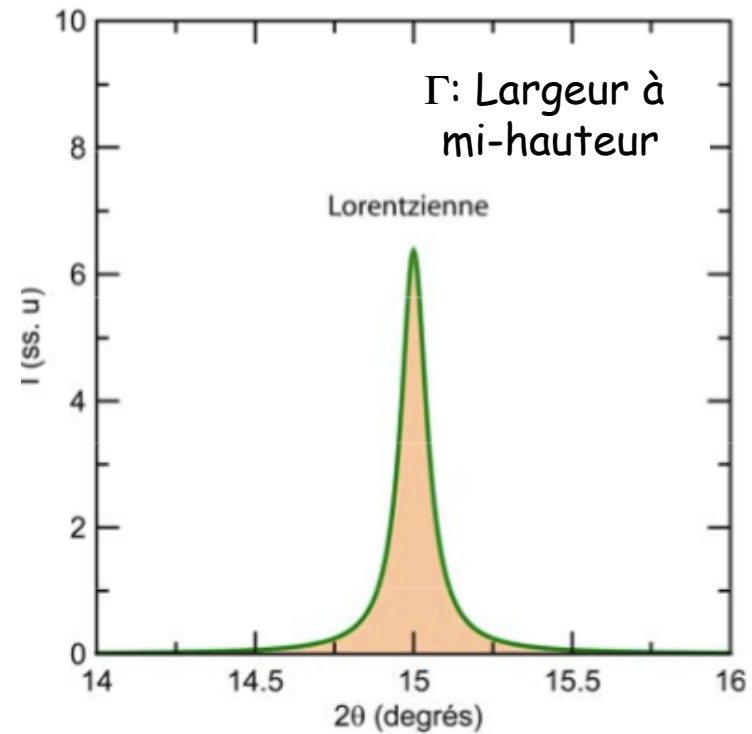
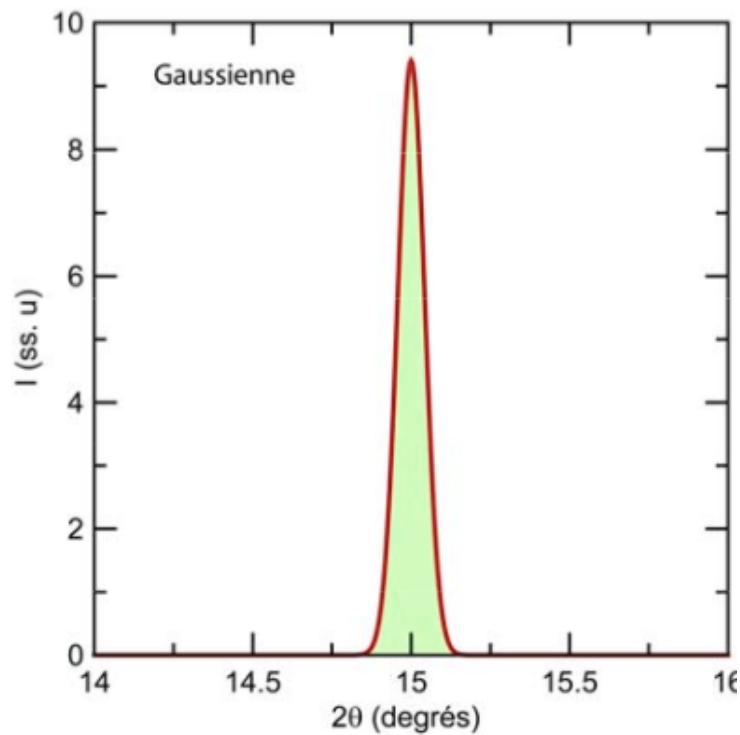




# Gaussienne vs lorentzienne

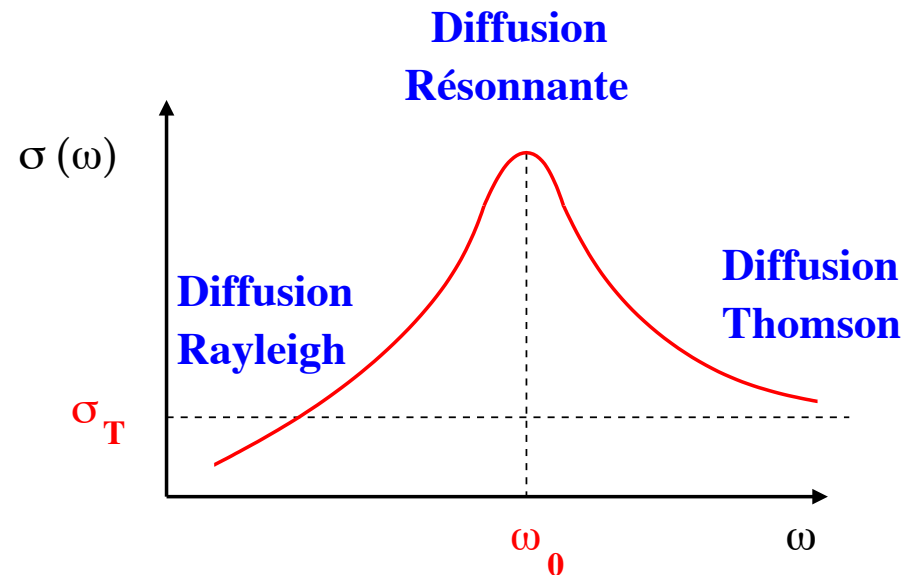
$$\frac{1}{\sigma \sqrt{2 \pi}} \exp\left(-\frac{(x-\mu)^2}{2 \sigma^2}\right)$$

$$\frac{\Gamma}{2 \pi} \frac{1}{\left(\frac{\Gamma}{2}\right)^2 + (x-\mu)^2}$$



$$\langle P \rangle = \sigma(\omega) \frac{\epsilon_0 c E_m^2}{2} \quad \text{avec} \quad \sigma(\omega) = \frac{8 \pi r_e^2}{3} \frac{\omega^4}{(\omega_0^2 - \omega^2)^2 + \omega^2 / \tau^2}$$

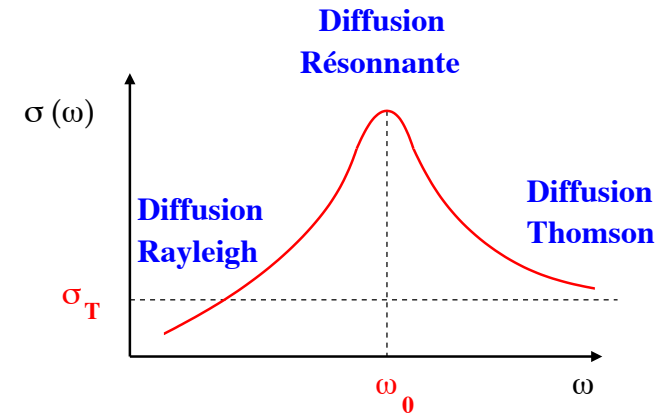
- On distingue 3 domaines dans la section efficace :



$$\sigma(\omega) = \frac{8 \pi r_e^2}{3} \frac{\omega^4}{(\omega_0^2 - \omega^2)^2 + \omega^2 / \tau^2}$$

## Diffusion résonante

- La diffusion est particulièrement importante lorsque le rayonnement incident est proche d'une fréquence propre de l'atome (ie  $\omega \approx \omega_0$ )



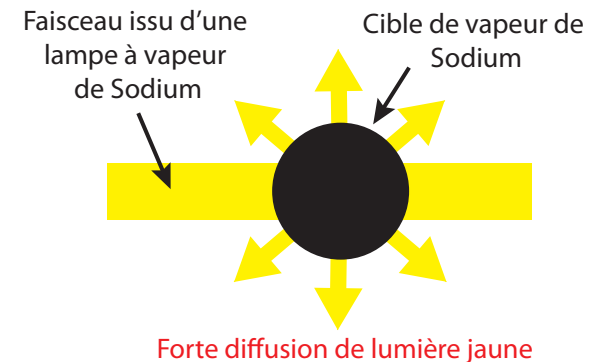
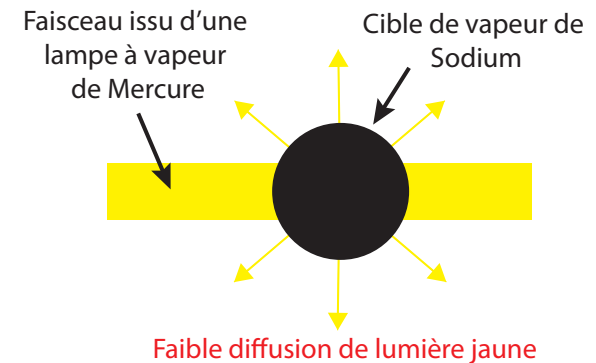
- En utilisant  $\omega_0^2 - \omega^2 \approx 2 \omega_0 (\omega - \omega_0)$ , la section efficace devient :

$$\sigma(\omega) \approx \frac{8 \pi r_e^2 \omega_0^2 \tau^2}{3} L(\omega) \quad \text{avec} \quad L(\omega) = \frac{\omega^2}{1 + 4 \tau^2 (\omega - \omega_0)^2}$$

- La fonction  $L(\omega)$  est une **lorentzienne**. Son profil symétrique est caractéristique d'une résonance
- Cette diffusion est parfois appelée **diffusion Rayleigh résonante**

# Diffusion résonante de vapeur de sodium

- En éclairant du Na atomique avec une lampe à vapeur de mercure (comprenant un doublet jaune à 577 et 579 nm), on observe une très légère émission jaune de la vapeur de Na :
  - Légère diffusion
- En remplaçant la lampe par une lampe à vapeur de sodium (comprenant un doublet à 589 et 589,6 nm), on observe une émission jaune très intense :
  - Forte diffusion
  - La lumière incidente comprend les longueurs d'onde adaptées à l'excitation des atomes de Na : **émission résonante**

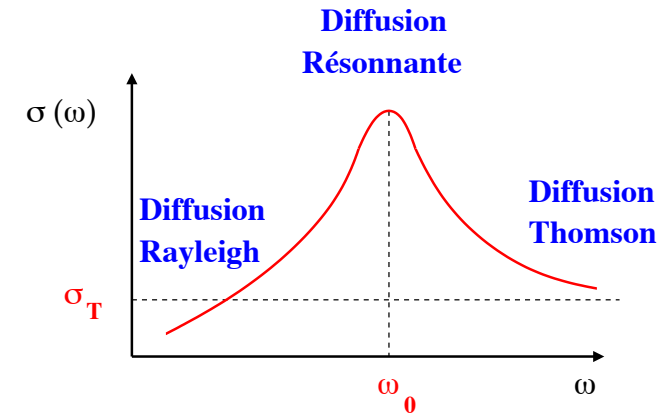


$$\sigma(\omega) = \frac{8 \pi r_e^2}{3} \frac{\omega^4}{(\omega_0^2 - \omega^2)^2 + \omega^2 / \tau^2}$$

## Diffusion Rayleigh

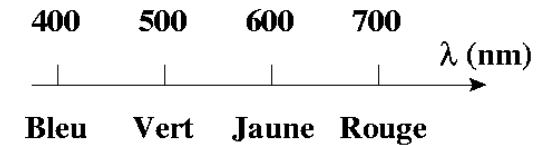
- On suppose cette fois que  $\omega \ll \omega_0$
- La section efficace s'écrit alors :

$$\sigma(\omega) \approx \frac{8 \pi r_e^2}{3} \left( \frac{\omega}{\omega_0} \right)^4 = \frac{8 \pi r_e^2}{3} \left( \frac{\nu}{\nu_0} \right)^4 = \frac{Cste}{\lambda^4}$$

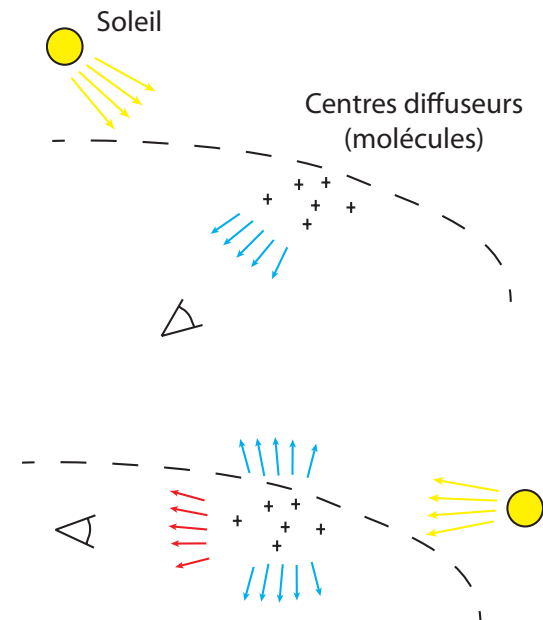


# Diffusion Rayleigh atmosphérique

$$\sigma(\omega) = \frac{Cste}{\lambda^4}$$



- De nombreuses molécules de l'atmosphère ont un spectre EM dans l'UV ( $\omega_0 \approx 10^{17}$  Hz)
  - Le visible ( $\omega \approx 10^{15}$  Hz) correspond donc à  $\omega \ll \omega_0$
- Dans le spectre visible, l'atmosphère diffuse plus le bleu que le rouge
- En observant dans une autre direction que le Soleil, on est sensible à la lumière diffusée
  - Le ciel est bleu
- Le Soleil (dont le maximum du rayonnement se trouve dans le jaune) verra donc sa lumière directe appauvrie en bleu
  - Le soleil apparaît rouge le soir



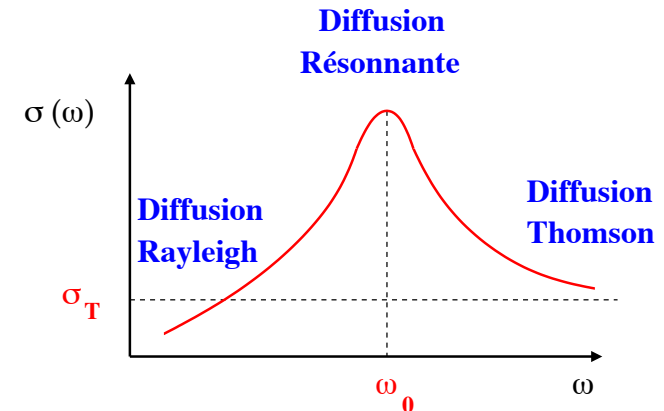
$$\sigma(\omega) = \frac{8 \pi r_e^2}{3} \frac{\omega^4}{(\omega_0^2 - \omega^2)^2 + \omega^2 / \tau^2}$$

## Diffusion Thomson

- On suppose cette fois que  $\omega \gg \omega_0$
- La section efficace tend vers une valeur constante et vaut :

$$\sigma(\omega) \approx \sigma_T = \frac{8 \pi r_e^2}{3} \approx 0.67 \text{ barn} \quad \text{car} \quad 1 \text{ barn} = 10^{-28} \text{ m}^2$$

Section efficace  
Thomson



- Par exemple, pour des X durs ( $\nu > \nu_0 \approx 10^{17} \text{ Hz}$ ), la puissance diffusée est indépendante de la pulsation incidente
  - Attention à ne pas utiliser des valeurs de  $\nu$  trop élevées pour rester dans le cadre de ce cours !!

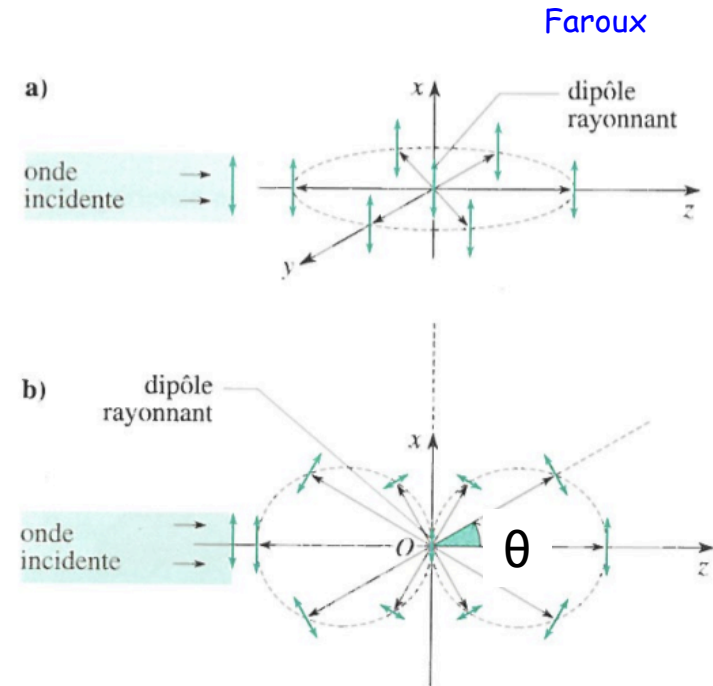
# Plan du chapitre « Systèmes rayonnants »

1. Champ électromagnétique du dipôle oscillant
2. Rayonnement dipolaire de l'électron atomique
  1. Généralités
  2. Diffusion du rayonnement électromagnétique
  3. Polarisation du rayonnement par diffusion
3. Rayonnement à grande distance d'une antenne



# Cas d'une onde polarisée rectilignement

- On considère une onde se propageant selon Oz et polarisée selon Ox
- Le moment dipolaire induit est dirigé selon Ox (parallèle à la direction de la polarisation incidente)



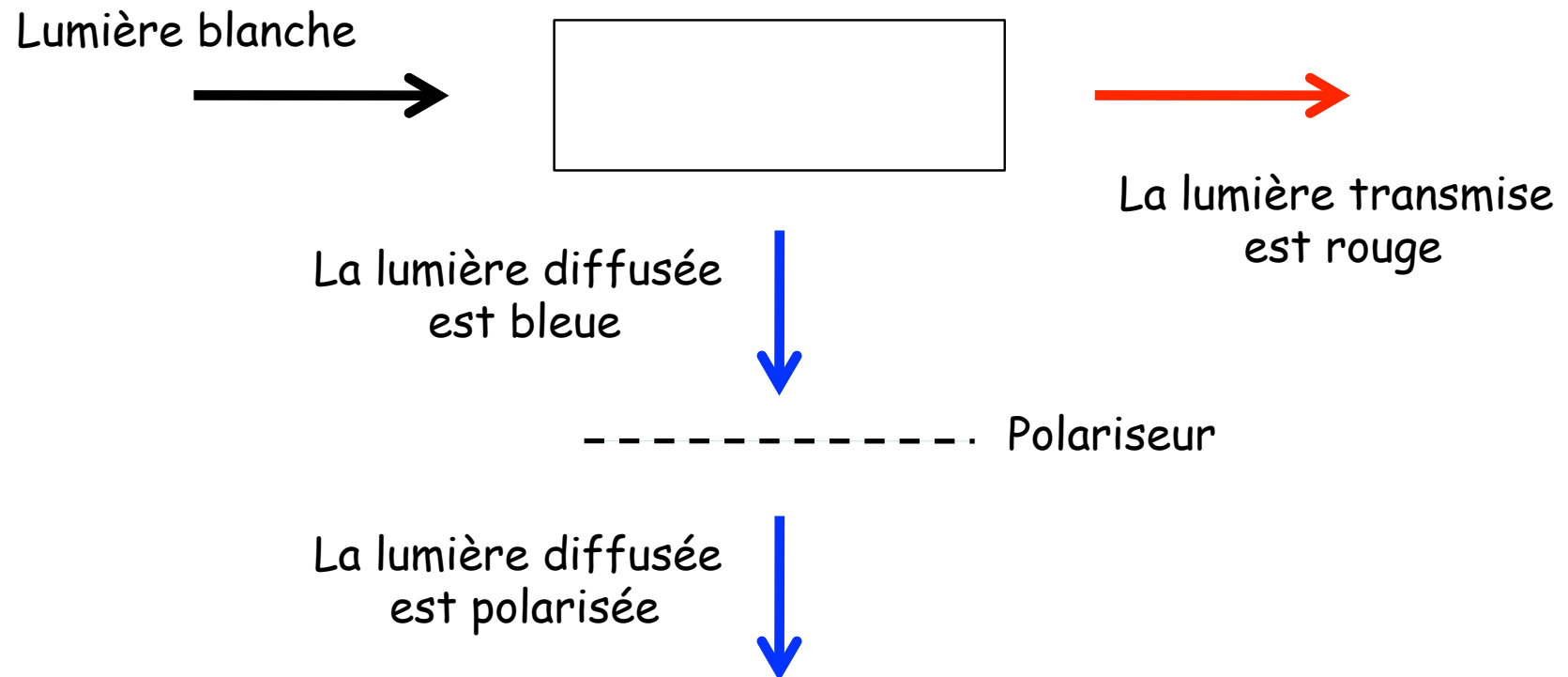
- Dans la zone de rayonnement, le rayonnement diffusé est polarisé rectilignement. Son intensité est maximale dans Oyz ( $\theta$  pris wrt Ox ici)

$$\frac{dP}{d\Omega} = \frac{p''^2 \sin^2(\theta)}{16 \pi^2 \epsilon_0 c^3}$$

- Dans Oyz, le dipôle émet isotropiquement des ondes pol. selon Ox. La diffusion est négligeable dans les directions voisines de Ox

# Expérience du « coucher du Soleil »

- Un aquarium + du lait en poudre + une lumière blanche intense



# Plan du chapitre « Systèmes rayonnants »

1. Champ électromagnétique du dipôle oscillant
2. Rayonnement dipolaire de l'électron atomique
3. Rayonnement à grande distance d'une antenne
  1. Généralités
  2. Antennes rectilignes
  3. Cas particulier d'une antenne demi-onde

- On appelle **antenne** un dispositif conçu pour rayonner (ou récupérer) de l'énergie EM sous une forme donnée
  - On s'intéressera uniquement au champ de rayonnement (à grande distance)
- Pour émettre de l'énergie EM de manière efficace dans une direction donnée, les charges et les courants doivent être disposés de manière optimale
  - Sans des antennes efficaces, l'énergie EM serait localisée
- Une antenne peut être un simple fil conducteur rectiligne, une boucle excitée par un courant sinusoïdal, un orifice à l'extrémité d'un guide d'onde ou un arrangement sophistiqué de tout ceci

- Il n'existe pas d'antenne qui rayonne uniformément dans toutes les directions. Le rayonnement d'une antenne doit généralement être étudié en 3D, puisqu'il varie selon  $\theta$  et  $\phi$  en coordonnées sphériques
- On représente souvent le champ normalisé à sa valeur maximale en fonction de  $\theta$  pour  $\phi$  constant (champ  $E$ ) ou l'amplitude du champ  $B$  en fonction de  $\phi$  pour  $\theta = \pi/2$  (champ  $B$ )

Diagramme du rayonnement de  $E$  pour le dipôle de Hertz

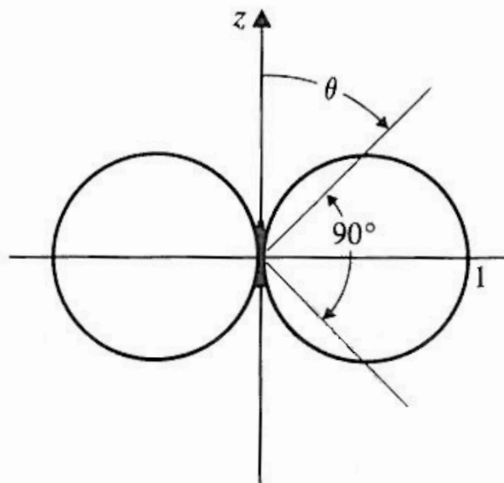
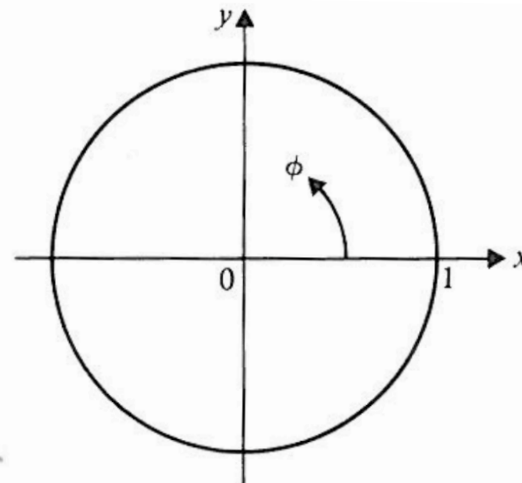


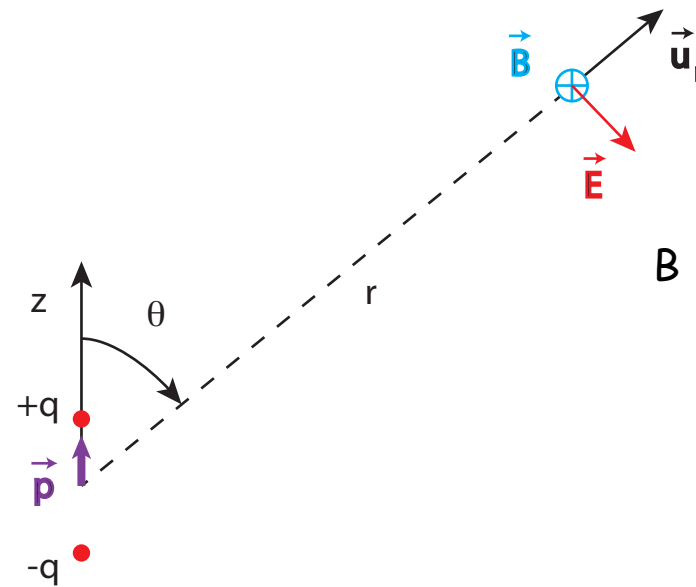
Diagramme du rayonnement de  $B$  pour le dipôle de Hertz



- On a vu que dans le cas d'un dipôle électrique, les champs de rayonnement s'écrivaient :

$$\vec{E}(\vec{r}, t) = \frac{\mu_0}{4\pi} \frac{p'' \sin(\theta)}{r} \vec{u}_\theta$$

$$\vec{B}(\vec{r}, t) = \frac{\mu_0}{4\pi} \frac{p'' \sin(\theta)}{r c} \vec{u}_\phi$$



Dipôle électrique

- Pour le dipôle électrique :

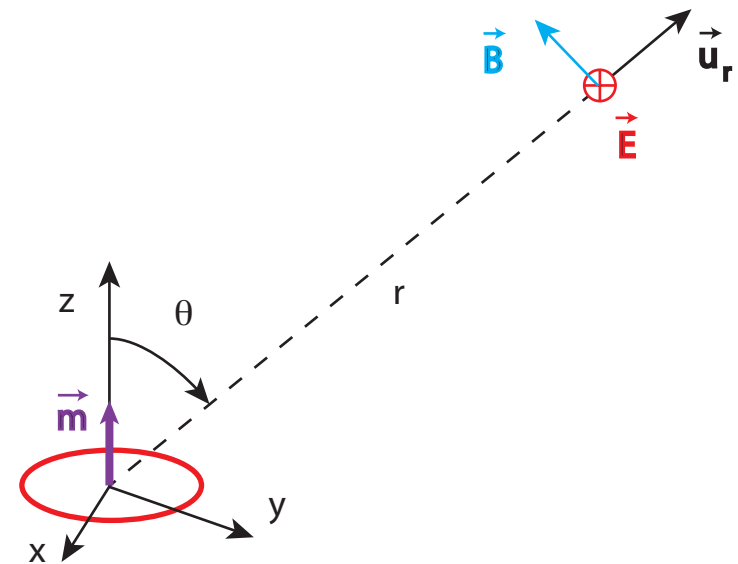
$$\vec{E}(\vec{r}, t) = \frac{\mu_0}{4\pi} \frac{p'' \sin(\theta)}{r} \vec{u}_\theta \quad \text{et} \quad \vec{B}(\vec{r}, t) = \frac{\mu_0}{4\pi} \frac{p'' \sin(\theta)}{r c} \vec{u}_\varphi$$

- On pourrait montrer que le dipôle magnétique rayonne également une onde EM qui ressemble beaucoup à celle du dipôle électrique

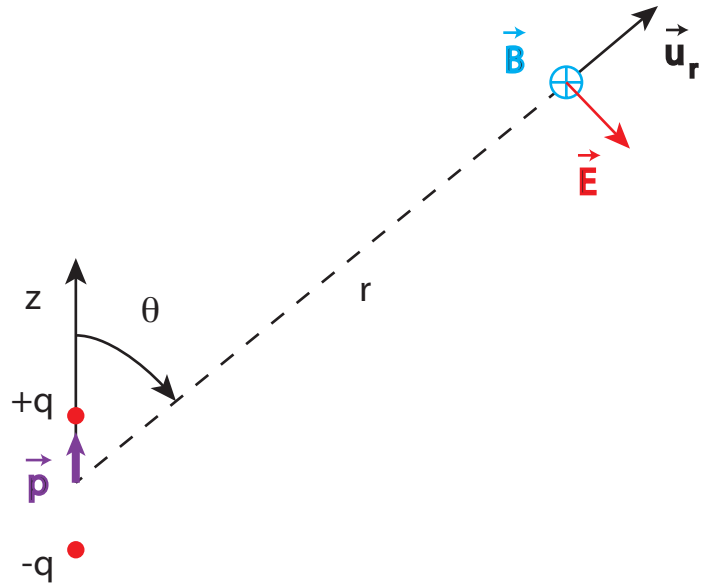
$$\vec{E}(\vec{r}, t) = \frac{\mu_0}{4\pi} \frac{m'' \sin(\theta)}{r c} \vec{u}_\varphi$$

$$\vec{B}(\vec{r}, t) = -\frac{\mu_0}{4\pi} \frac{m'' \sin(\theta)}{r c^2} \vec{u}_\theta$$

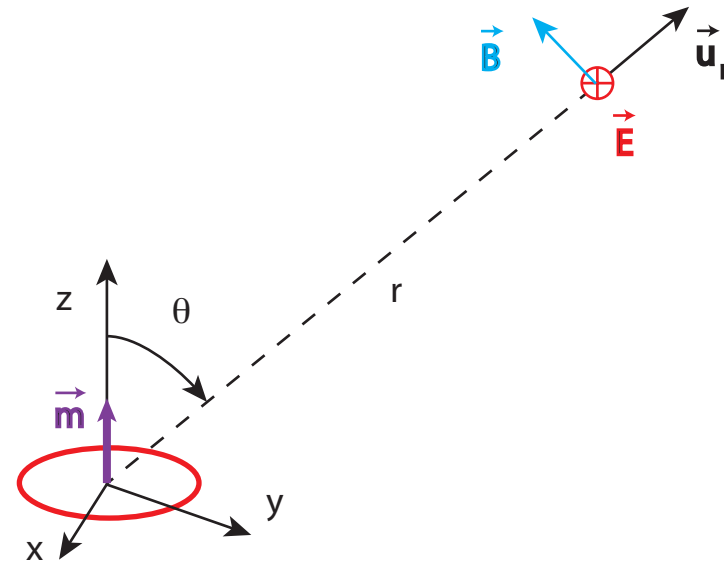
- $E$  et  $B$  sont simplement permutés wrt au cas du dipôle électrique



Dipôle magnétique



Dipôle électrique



Dipôle magnétique

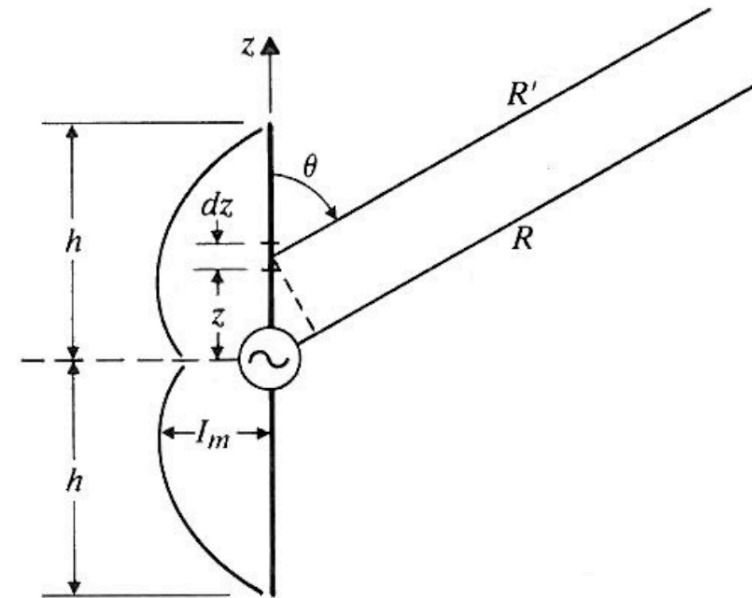
- On peut donc indifféremment utiliser des dipôles électriques ou magnétiques pour l'émission ou la réception d'ondes !



# Plan du chapitre « Systèmes rayonnants »

1. Champ électromagnétique du dipôle oscillant
2. Rayonnement dipolaire de l'électron atomique
3. Rayonnement à grande distance d'une antenne
  1. Généralités
  2. Antennes rectilignes
  3. Cas particulier d'une antenne demi-onde

- Une **antenne rectiligne** peut être considérée comme un ensemble de dipôles oscillants en alignant les dipôles dans la direction de l'antenne
  - On contrebalance alors l'effet des très faibles résistances de rayonnement
  
- On étudie le cas d'une antenne alimentée en son centre ayant une longueur de l'ordre de la longueur d'onde (appelée **antenne linéaire dipolaire**)



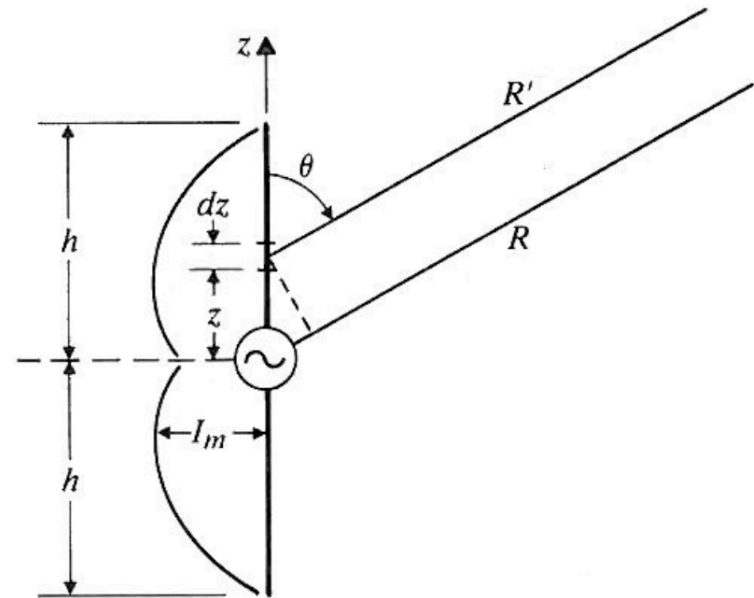
- Théorie : si la distribution de courant est connue, on obtient le champ en intégrant l'effet d'un dipôle sur tout le volume de l'antenne
  - Ce n'est qu'un simple problème de conditions aux limites sur le conducteur (courant nul aux extrémités et champ  $E_T$  nul sur toute la surface)
- Dans la pratique :
  - La détermination de la densité de courant réelle est en fait très délicate (même pour des conducteurs parfaits)
  - On simplifie beaucoup en négligeant l'effet de l'épaisseur de l'antenne

# Champ EM produit par une antenne rectiligne (1/3)

- On modélise la distribution de courant par :

$$\beta = \frac{2\pi}{\lambda} \quad I(z) = I_m \sin(\beta(h - |z|)) = \begin{cases} I_m \sin(\beta(h - z)) & \text{si } z > 0 \\ I_m \sin(\beta(h + z)) & \text{si } z < 0 \end{cases}$$

- Une antenne sera considérée comme un alignement de dipôles de Hertz
  - Permet de déterminer (plus) facilement le champ
  - La décroissance en  $1/r$  fait qu'à grande distance, on est encore sensible au champ rayonné



# Champ EM produit par une antenne rectiligne (2/3)

- On obtient le champ en superposant les champs créés par les différents éléments de l'antenne, de longueur  $dz$
- Le champ  $E$  produit à grande distance, en un point  $M$ , par l'un de ces éléments situé en  $P$  et parcouru par  $I(z)$ , s'écrit :

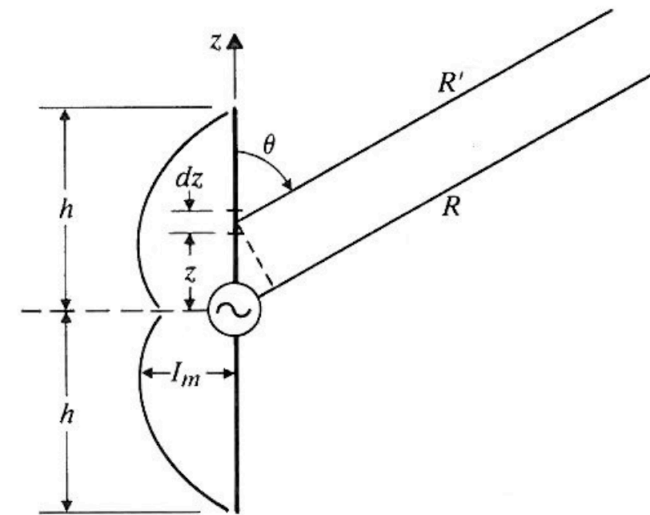
$$d\vec{E} = \sqrt{\frac{\mu_0}{\epsilon_0}} \frac{\sin(\theta)}{2 \lambda PM} I(z) dz \exp\left(-i \omega \left(t - \frac{PM}{c}\right)\right) \vec{u}_\theta$$

- Comme toujours, on pose :

$$PM = \left(R^2 + OP^2 - 2 \vec{R} \cdot \overrightarrow{OP}\right)^{1/2} = R \left(1 + \frac{OP^2}{R^2} - 2 \vec{u}_r \cdot \frac{\overrightarrow{OP}}{R}\right)^{1/2}$$

avec :

$$\vec{R} = \overrightarrow{OM} \quad \text{et} \quad \vec{u}_r = \frac{\overrightarrow{OM}}{OM}$$



# Champ EM produit par une antenne rectiligne (3/3)

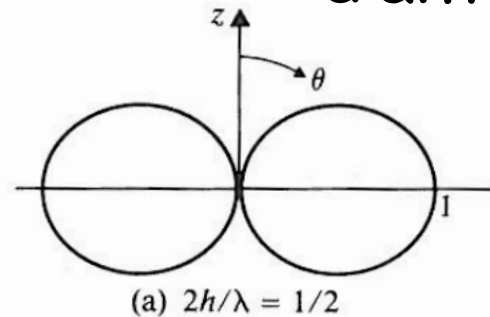
- Après des calculs pénibles, on obtient :

$$\vec{E} \approx -i \sqrt{\frac{\mu_0}{\epsilon_0}} \frac{I_m}{R} \exp(i \beta R) F(\theta) \vec{u}_\theta \quad \text{avec} \quad F(\theta) = \frac{\cos[\beta h \cos(\theta)] - \cos(\beta h)}{\sin(\theta)}$$

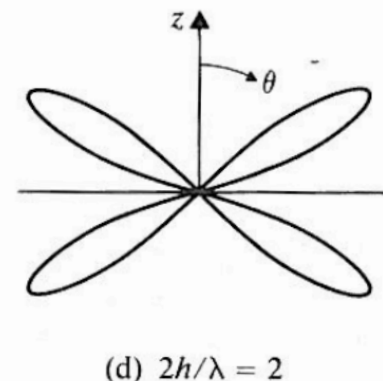
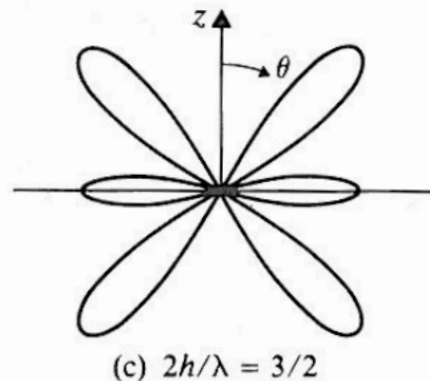
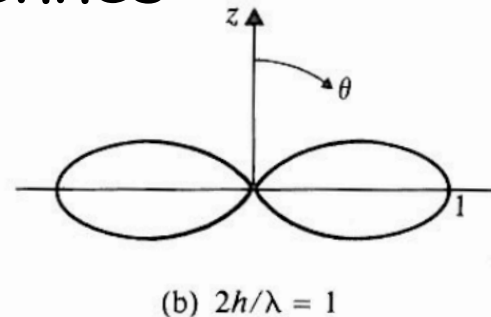
- Le facteur  $F(\theta)$  est le diagramme de rayonnement du champ  $E$  pour l'antenne linéaire dipolaire
- La forme de  $F(\theta)$  dépend bien sûr de la valeur de  $\beta h = 2\pi h/\lambda$  et peut être très différente selon ces valeurs
  - $F(\theta)$  est toujours symétrique wrt au plan  $\theta = \pi/2$
- Les diagrammes de rayonnement de  $B$  sont des cercles puisque  $F(\theta)$  est indépendant de  $\varphi$

# Fonction $F(\theta)$ pour différentes longueurs d'antennes

Antenne  
demi-onde



Antenne  
quart d'onde



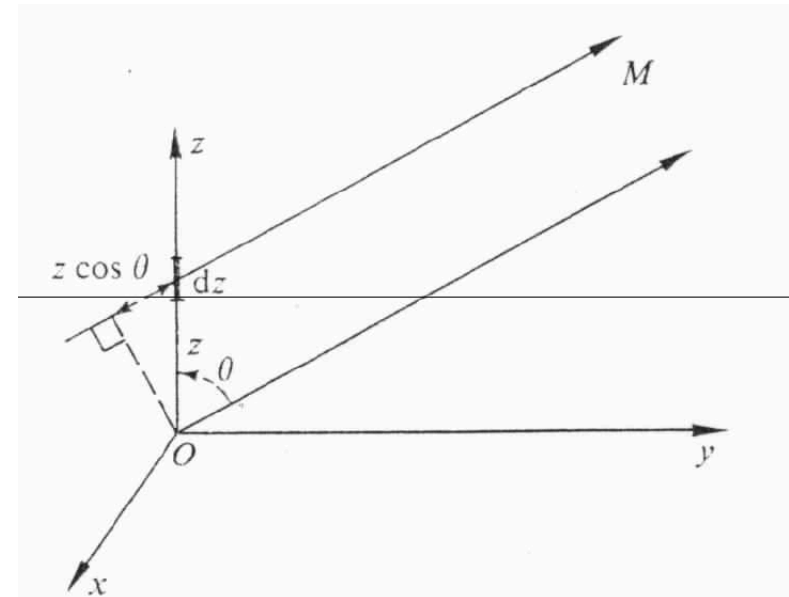
- Le maximum du rayonnement émis s'écarte du plan  $\theta = 90^\circ$  quand la longueur de l'antenne se rapproche de  $3\lambda/2$
- Pour  $2h = 2\lambda$ , il n'y a pas de rayonnement dans le plan  $\theta = 90^\circ$

# Plan du chapitre « Systèmes rayonnants »

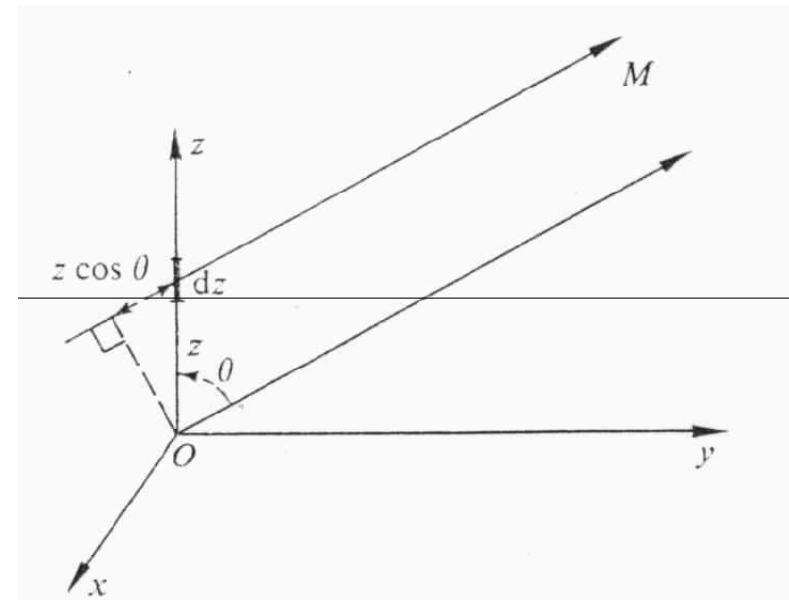
1. Champ électromagnétique du dipôle oscillant
2. Rayonnement dipolaire de l'électron atomique
3. Rayonnement à grande distance d'une antenne
  1. Généralités
  2. Antennes rectilignes
  3. Cas particulier d'une antenne demi-onde



- Le calcul effectué dans l'approximation  $d \ll \lambda$  devient faux
  - La distance  $r$  du point  $M$  varie suivant la position  $z$  du point courant sur l'antenne : l'onde résultante est la superposition d'ondes de phase différentes
  - Il y a propagation le long de l'antenne et  $I$  devient  $I(z)$



- On suppose que  $M$  est suffisamment long pour que  $\theta$  reste le même pour toute l'antenne (infini en optique)
- Chaque point  $dz$  à l'abscisse  $z$  se trouve à la distance  $r - z \cos(\theta)$  de  $M$



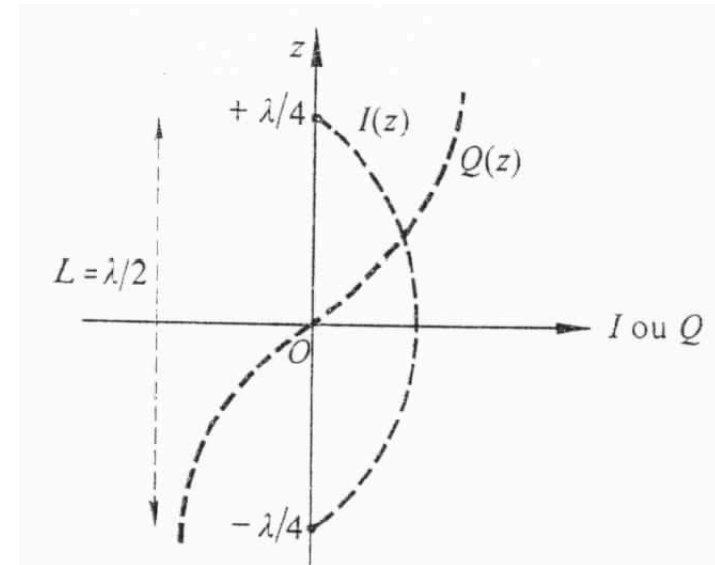
- Cette correction sur  $r$  ne joue que dans le terme de phase

$$\begin{cases} E_{\theta} = -i \sqrt{\frac{\mu_0}{\epsilon_0}} \frac{I l}{2 \lambda} \frac{\sin(\theta)}{r} \exp\left(-i \omega \left(t - \frac{r}{c}\right)\right) \\ B_{\varphi} = -i \mu_0 \frac{I l}{2 \lambda} \frac{\sin(\theta)}{r} \exp\left(-i \omega \left(t - \frac{r}{c}\right)\right) \end{cases}$$

$$dE_{\theta} = -i Z_0 \frac{I(z)}{2 \lambda} \frac{\sin(\theta)}{r} \exp\left(-i \omega \left(t - \frac{r - z \cos(\theta)}{c}\right)\right) dz$$

$$dB_{\varphi} = -i \mu_0 \frac{I(z)}{2 \lambda} \frac{\sin(\theta)}{r} \exp\left(-i \omega \left(t - \frac{r - z \cos(\theta)}{c}\right)\right) dz$$

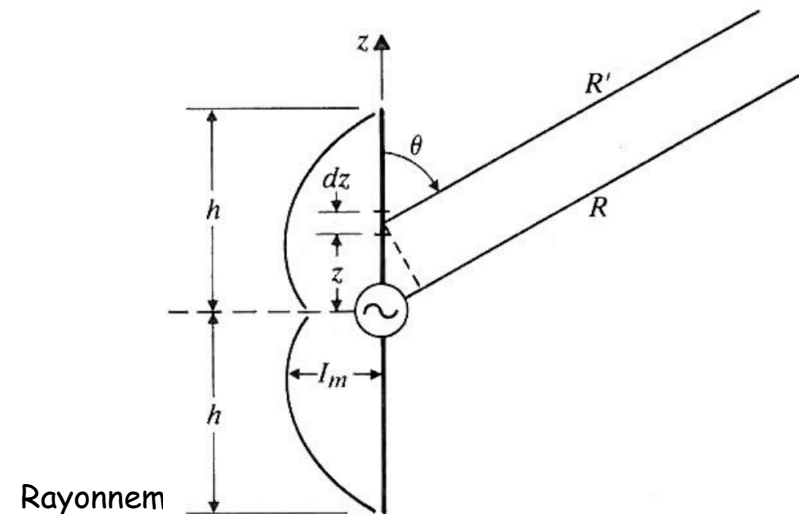
- Antenne constitué d'un fil **accordé** sur le fondamental :  $L = \lambda / 2$
- Le courant n'est pas constant le long du fil
 
$$I(z) = I_0 \cos\left(\frac{2 \pi z}{\lambda}\right)$$
- La répartition des charges sur l'antenne est donnée par  $Q = \int I dt$



- Charges maximales aux extrémités avec des signes opposés
- **Doublet de charges (antenne doublet)**

## Autre dénomination

- Cette antenne sera parfois dite **demi-onde** si la longueur  $L = 2h$  vérifie  $2h = \lambda/2$
- On a alors :  $\beta h = \frac{\pi}{2} \Rightarrow F(\theta) = \frac{\cos(\pi/2 \times \cos(\theta))}{\sin(\theta)}$
- On réalise une antenne demi-onde en maintenant une fem sinusoïdale aux extrémités voisines de l'entrée des 2 conducteurs
- On obtient le même comportement en plantant dans le sol un conducteur de longueur  $h/2$  (on montre que le sol se comporte comme un réflecteur parfait)



- En exprimant  $\exp\left(-i \omega \left(t - \frac{r - z \cos(\theta)}{c}\right)\right)$ , on obtient :

$$E_{\theta} = -i \frac{I_0 Z_0}{2 \lambda} \frac{\sin(\theta)}{r} \exp\left(-i \omega \left(t - \frac{r}{c}\right)\right) \left[ \int_{-\lambda/4}^{+\lambda/4} \cos\left(\frac{2 \pi z}{\lambda}\right) \cos\left(\frac{\omega}{c} z \cos(\theta)\right) dz \right. \\ \left. - i \int_{-\lambda/4}^{+\lambda/4} \cos\left(\frac{2 \pi z}{\lambda}\right) \sin\left(\frac{\omega}{c} z \cos(\theta)\right) dz \right]$$

- Les limites d'intégration sont symétriques donc l'intégrale de la fonction impaire (2<sup>e</sup> terme) est nulle. Il reste :

$$E_{\theta} = -i \frac{I_0 Z_0}{\lambda} \frac{\sin(\theta)}{r} \exp\left(-i \omega \left(t - \frac{r}{c}\right)\right) \left[ \int_0^{+\lambda/4} \cos\left(\frac{2 \pi z}{\lambda}\right) \cos\left(\frac{\omega}{c} z \cos(\theta)\right) dz \right]$$

- Pour effectuer le calcul, on utilise  $\cos(p) \cos(q) = \frac{1}{2} [\cos(p+q) + \cos(p-q)]$

- On obtient :

$$E_{\theta} = -i \frac{I_0 Z_0}{2 \pi} \frac{1}{r} \frac{\cos\left(\frac{\pi}{2} \cos(\theta)\right)}{\sin(\theta)} \exp\left(-i \omega \left(t - \frac{r}{c}\right)\right)$$

- Le diagramme de rayonnement a toujours la même allure :
  - Sur l'axe ( $\theta \approx 0$ )

$$\cos\left(\frac{\pi}{2} \cos(\theta)\right) \approx \cos\left[\frac{\pi}{2} \left(1 - \frac{\theta^2}{2}\right)\right] = \sin\left(\frac{\pi \theta^2}{4}\right) \approx \frac{\pi \theta^2}{4} \xrightarrow{\theta \rightarrow 0} 0$$

- Plan équatorial ( $\theta = \pi/2$ ) : rayonnement maximum

- Le vecteur de Poynting donne :

$$\langle \vec{R} \rangle \approx \frac{15 I_m^2}{\pi R^2} \frac{\cos^2(\pi/2 \times \cos(\theta))}{\sin^2(\theta)} \vec{u}_r$$

- D'où la puissance :  $\langle P \rangle = \oint \langle \vec{R} \rangle \cdot d\vec{S}$  avec  $dS = R^2 \sin(\theta) d\theta d\varphi$

- Finalement :

1.218 (numériquement)



$$\langle P \rangle = \int_0^{2\pi} d\varphi \int_0^\pi \frac{15 I_m^2}{\pi} \frac{\cos^2(\pi/2 \times \cos(\theta))}{\sin(\theta)} d\theta = 36,54 I_m^2$$

- Comme pour un dipôle, on peut définir une **résistance de rayonnement** :

$$R_r = \frac{\langle P \rangle}{I_m^2 / 2} = 73,1 \Omega$$



- La résistance de rayonnement est indépendante de la longueur  $L$  de l'antenne
  - La seule condition est que l'antenne soit accordée

- La moitié de la puissance est donnée par :

$$\frac{\cos(\pi/2 \times \cos(\theta))}{\sin(\theta)} = \frac{1}{2} \Rightarrow \theta = \frac{1}{\sqrt{2}}$$

- ie  $\Delta\theta \approx 78^\circ$

- Ce champ ressemble au champ du dipôle de Hertz (pour lequel  $\Delta\theta = 90^\circ$ ), en étant néanmoins plus allongé dans la direction  $\theta/2$ 
  - La largeur à mi-hauteur du gain directionnel du rayonnement sera donc inférieure à  $90^\circ$
  - Il existe des méthodes pour l'augmenter en associant plusieurs antennes parallèles en quinconce

